

ارزیابی قابلیت روش طیف‌سنجدی در تخمین برخی ویژگی خاک‌های مبتلا به نمک

کامران عزیزی^۱، کمال نبی الله^{*۲} و مسعود داوری^۲

- ۱- دانشجوی کارشناسی ارشد، گروه علوم و مهندسی خاک، دانشکده کشاورزی، دانشگاه کردستان، ایران
۲- استادیار گروه علوم و مهندسی خاک، دانشکده کشاورزی، دانشگاه کردستان، ایران

چکیده	تاریخچه مقاله
<p>تهیه منحنی‌های انعکاس طیفی پدیده‌های مورد نظر در محدوده طول موج‌های مشخص طیف‌سنجدی گفته می‌شود. طیف‌سنجدی مرئی-مادون قرمز نزدیک روشی غیرمستقیم، ارزان، سریع، دارای حداقل آماده‌سازی نمونه‌ها و تکرار پذیری مناسب است. هدف از این پژوهش ارزیابی طیف‌سنجدی انعکاسی در برآوردهای خاک‌های مبتلا به نمک در استان کردستان می‌باشد. بدین منظور تعداد ۱۰۰ نمونه خاک در ۲۰ کیلومتری شهرستان قروه در استان کردستان جمع آوری و ویژگی‌های آن‌ها از قبیل هدایت الکتریکی، اسیدیته، نسبت جذب سدیم، ماده آلی، کربنات کلسیم و پایداری خاکدانه اندازه‌گیری شد. آنالیز طیفی نمونه خاک‌ها با استفاده از دستگاه طیف‌سنجدی زمینی با طول موج ۲۵۰۰ تا ۳۵۰ نانومتر با استفاده از نرم‌افزار RS³ اندازه گیری و ثبت شد. پس از ثبت طیف‌ها روش‌های مختلف پیش‌پردازش مورد ارزیابی قرار گرفت. سپس از رگرسیون خطی چندگانه و شبکه عصبی مصنوعی برای پیش‌بینی ویژگی‌های خاک استفاده گردید. نتایج نشان داد که بهترین روش پیش‌پردازش داده‌های طیفی، مشتق اول + فیلتر ساویتزکی و گلای + فیلتر میانه + متغیر نرمال استاندارد می‌باشد. بر اساس مقایسه آماره ضریب تبیین میان دو مدل شبکه عصبی مصنوعی و رگرسیون خطی چندگانه (به ترتیب برای هدایت الکتریکی ۰/۸۸ - ۰/۴۵، اسیدیته خاک ۰/۲۵ - ۰/۱۳، نسبت جذب سدیم ۰/۰۹ - ۰/۲۳، ماده آلی ۰/۶۸ - ۰/۶۶، کربنات کلسیم ۰/۵۲ - ۰/۴۸ و پایداری خاکدانه ۰/۰۴۸ - ۰/۰۲۸)، شبکه عصبی مصنوعی نتایج بهتری در مقایسه با مدل رگرسیون خطی از خود نشان داد.</p>	<p>دریافت: ۱۳۹۷/۰۲/۱۷ پذیرش نهایی: ۱۳۹۷/۰۴/۰۵</p> <p>کلمات کلیدی: شوری و قلیایت خاک، شبکه عصبی مصنوعی، رگرسیون خطی، قروه</p> <p>* عهدde دار مکاتبات Email: k.nabiollahi@uok.ac.ir</p>

خاک‌ها اطلاعات زیادی لازم بوده و برای بدست آوردن

این اطلاعات نیاز به نمونه برداری‌های زیاد، صرف هزینه وقت بسیاری است. از این رو نیاز به روش‌های دیگری برای برآوردهای آن‌ها احساس می‌شود. لذا در سال‌های اخیر جستجو برای یافتن روش‌های غیرمستقیم که ارزان، سریع و به‌آسانی قابل دسترس باشند، یکی از اولویت‌های

مقدمه

یکی از مشکلات عمدهی مناطق خشک و نیمه خشک، که بارندگی کمتر از تبخیر و تعرق است، شور و قلیایی شدن خاک‌ها می‌باشد. در چنین شرایط اقلیمی نمک‌ها در سطح خاک تجمع یافته و باعث کاهش حاصلخیزی و تولید می‌شوند (۲۷). برای مدیریت این

بسیاری از پژوهش‌ها از بازتاب طیفی خاک به عنوان گرینه‌های بهینه برای تجزیه و تحلیل رفتار کمی خاک و همچنین برآورد ویژگی‌های فیزیکی و شیمیایی خاک استفاده کرده‌اند. تمرکز عمدۀ این پژوهش‌ها بر مطالعه ویژگی‌های مبنای خاک همچون توزیع اندازه ذرات خاک (۱۷)، مقدار ماده آلی (۳۲)، کربن و نیتروژن خاک (۲۱) و (۳۵)، مقدار آهک (۱۷ و ۲۲)، هدایت الکتریکی و ظرفیت تبادل کاتیونی (۲ و ۳۳) و تعیین برخی از عناصر پر و کم مصرف خاک (۱۵، ۱۹ و ۲۴) بوده است. تاکنون برای برقراری ارتباط بین ویژگی‌های مبنای خاک با ویژگی‌های طیفی آن روش‌هایی متعدد مورد استفاده قرار گرفته که از کاربردی ترین روش‌ها در این زمینه می‌توان به رگرسیون حداقل مربعات جزئی (۳۵)، شبکه‌های عصبی مصنوعی (۱۳) و (۲۳)، رگرسیون مؤلفه‌های اصلی (۱۰) و رگرسیون‌های خطی و غیرخطی (۱۲) اشاره کرد. شایان ذکر است که با بهره‌گیری از این روش‌ها می‌توان طول موج‌های مهم و مرتبط با متغیرهای مورد نظر را از بین طول موج‌های اندازه-گیری شده هر منحنی طیفی تعیین کرد (۱). این پژوهش با هدف بررسی ارزیابی قابلیت طیف‌سنجد در پیش‌بینی برخی خصوصیات خاک‌های مبتلا به نمک با استفاده شبکه عصبی مصنوعی و رگرسیون خطی در منطقه قزوین کردستان انجام شد.

مواد و روش

محدوده مطالعاتی، نمونه‌برداری و آنالیزهای آزمایشگاهی

منطقه مورد مطالعه دارای وسعت ۲۶۰۰۰ هکتار بوده که در ۲۰ کیلومتری شهرستان قزوین در استان کردستان واقع شده است. ارتفاع بلندترین و پایین‌ترین نقطه ۲۲۹۰ و ۱۷۸۰ متر از سطح دریا است. متوسط بارندگی سالیانه $369/8$ میلیمتر و متوسط درجه حرارت سالیانه $10/20$ درجه سانتی گراد می‌باشد. رژیم رطوبتی و حرارتی خاک‌های منطقه به ترتیب زیریک و مزیک می‌باشد. واحدهای فیزیوگرافی منطقه شامل اراضی پست، دشت‌های دامنه‌ای، فلات و تپه و کاربری‌های اصلی منطقه شامل زراعت و مرتع می‌باشد. به

پژوهشی محققین علوم خاک بوده است (۲۸). در سال-های گذشته استفاده از داده‌های سنجش از دور بسیار رواج یافته و مزیت استفاده از این داده‌ها، تکرار زمانی و مکانی مناسب آن‌ها می‌باشد (۱۴). تاکنون پژوهش‌های زیادی به منظور استفاده از داده‌های سنجش از دور در بررسی شوری خاک و نقشه‌برداری خاک انجام شده است (۳۶). با اینکه این تصاویر تفاوت‌های طیفی بین خاک‌های شدیداً شور و غیر شور را به خوبی نشان می‌دهد، اما این تصاویر تفاوت میان خاک‌های کمی شور و خاک‌های غیر شور را نشان نمی‌دهد. به همین منظور می‌توان از تصاویر فراطیفی^۱ استفاده کرد.

تصاویر فراطیفی تکنیک پیشرفته‌ای است که اطلاعات طیفی گستردگای از خصوصیات مواد را فراهم می‌کند. این اطلاعات طیفی ارزیابی کمی را درباره خاک‌های تحت تأثیر نمک فراهم می‌سازد (۶). یکی از این روش‌ها، استفاده از فن آوری طیف‌سنجد خاک می‌باشد. تهیه منحنی‌های انعکاس طیفی^۲ پدیده یا پدیده‌های مورد نظر در محدوده طول موج‌های مشخص طیف‌سنجد گفته می‌شود. استفاده از منحنی‌های انعکاس طیفی خاک می‌تواند بسیاری از محدودیت‌های آزمایشگاهی را برطرف کند، زیرا برخلاف روش‌های مرسوم اندازه‌گیری ویژگی‌های خاک در آزمایشگاه، داده‌های خاک در رویکرد طیفی با یک روش استاندارد و تنها در یک مرحله بدون نیاز به مواد شیمیایی گران قیمت و سمی تعیین می‌شوند. لذا خطای ناشی از روش‌های مختلف اندازه‌گیری و شخص کاربر به طور قابل توجهی کاهش می‌یابد (۴). از بازتاب طیفی خاک در دامنه‌های طیفی مرئی^۳ (VIS) و مادون قرمز نزدیک^۴ (NIR) (طول موج‌های بین ۳۵۰ تا ۲۵۰ نانومتر) به عنوان روشی سریع، مقرر و به صرفه، غیر مخرب و نسبتاً دقیق برای تخمین برخی از ویژگی‌های فیزیکی، شیمیایی و بیولوژیک خاک استفاده شده است (۲۴).

1- Hyperspectral

2- Proximal Spectral Reflectance

3- Visible

4- Near Infrared

$MWD_{Dry} = \sum_{i=1}^n W_i X_i$ (۱) که در آن X_i میانگین قطر خاکدانه‌ها روی هر الک، n میانگین قطر سوراخ‌های الک بالایی و پایینی، n تعداد الک‌ها و W_i نسبت وزن خاکدانه‌های پایدار روی هر الک i به وزن کل خاک به کار برده شده است. برای تعیین توزیع اندازه‌ی ذرات ثانویه در حالت تر نیز از روش تک الکی استفاده شد. در این روش خاکدانه‌های باقی مانده در روی هر الک از زیر اشاع و به مدت ۱۰ دقیقه در آب بالا و پایین برده شدند. پس از پایان الک کردن، الک‌ها به آرامی از آب خارج شده، خاکدانه‌های باقی مانده روی هر الک شسته شده سپس در آون در دمای ۱۰۵ درجه سانتیگراد خشک و وزن شدند. خاکدانه‌های باقی مانده موبوط به هر الک خرد شده و ذرات شن و سنگ ریزه آن جدا شده و جرم واقعی خاکدانه‌ها بر روی هر الک محاسبه گردید. سپس میانگین وزنی قطر خاکدانه‌ها در حالت تر از فرمول زیر محاسبه گردید:

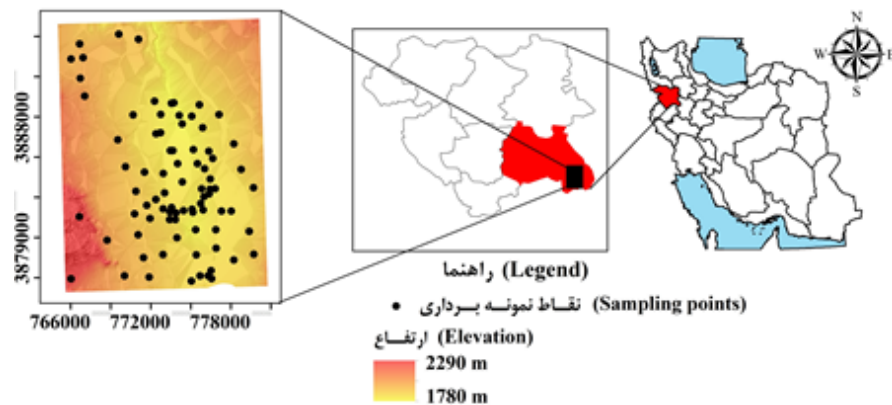
$$MWD_{Wet} = \sum_{i=1}^n W_i X_i \quad (2)$$

در معادله ذکر شده X_i میانگین قطر خاکدانه‌ها روی هر الک i میانگین قطر سوراخ‌های الک بالایی و پایینی، n تعداد الک‌ها و W_i نسبت وزن خاکدانه‌های پایدار روی هر الک i به وزن کل خاک به کار برده شده پس از کسر ذرات شن و سنگریزه بوده که از فرمول زیر محاسبه می‌شود:

$$W_i = \frac{W_i - W_{i(s)}}{W_t - \sum_{i=1}^n W_{i(s)}} \quad (3)$$

روش تصادفی طبقه‌بندی شده (کلاس‌های شوری ۰-۲-۴-۶ و بیشتر از ۶ دسی‌زیمنس بر متر) محل ۱۰۰ نمونه در منطقه قزوین استان کردستان انتخاب شده و سپس نمونه‌برداری ساده از عمق ۰-۳۰ سانتی‌متری صورت گرفت (شکل ۱). نمونه‌ها پس از انتقال به آزمایشگاه، هوا خشک و به نرمی کوییده شده و برای تجزیه‌های آزمایشگاهی از الک دو میلی‌متر عبور داده شدند.

هدایت الکتریکی و اسیدیته در عصاره گل اشباع به ترتیب با دستگاه‌های هدایت‌سنجد pH متر، کربنات کلسیم به روش حجم سنجی (۳۰)، درصد ماده آلی به روش والکلی‌بلک (۳۱)، میزان سدیم محلول با استفاده از دستگاه فلیم‌فومتر اندازه گیری شد. کلسیم و منیزیم با استفاده از عصاره گل اشباع و به روش تیتراسیون برگشتی اندازه گیری شد (۳). نسبت جذب سدیم با استفاده از نسبت سدیم به کلسیم و منیزیم محلول خاک بدست آمد. برای بررسی پایداری خاکدانه از اختلاف توزیع اندازه‌ی ذرات از دو روش الک خشک و تر استفاده شد. برای اندازه گیری توزیع اندازه ذرات در حالت خشک از دستگاه شیکر الک با سری الک ۱، ۲، ۰/۵ و ۰/۲۵ استفاده شد. بدین ترتیب که مقدار ۵۰ گرم خاک روی بزرگ‌ترین الک ریخته و به مدت ۲ دقیقه شیک شد. در پایان وزن خاک روی هر الک یادداشت شد و بدین ترتیب توزیع اندازه ذرات در حالت خشک بدست آمد. سپس میانگین وزنی قطر خاکدانه‌ها در حالت خشک (۱۸) از فرمول زیر محاسبه گردید:



شکل(۱) موقعیت منطقه مورد مطالعه
Figure(1) Location of the study area

عزیزی و همکاران: ارزیابی قابلیت روش طیف‌سنجی در تخمین...

نسبت به محور قائم به خاک تابانده شده و انعکاس آن را توسط پیستولی مجهز به لنز ۸ درجه با میدان دیدی به قطر ۴/۲ سانتیمتر (Contact –Probe) و نرم افزار مربوطه (RS³)، در تاریکخانه اندازه‌گیری و ثبت شد. بهمنظور افزایش دقت اندازه‌گیری‌ها و واسنجی دستگاه در حین اندازه‌گیری‌ها، به ازای هر ۳ نمونه خاک یک قرائت نیز از صفحه سفید استاندارد که در شرایط مکانی مشابه با شرایط اندازه‌گیری نمونه‌های خاک مستقر گردیده بود، انجام شد. ۶ تکرار برای هر نمونه خاک در نظر گرفته شد که در مجموع ۶۰۰ منحنی طیفی از خاک‌های منطقه ایجاد شد. با استفاده از نرم افزار View Spect Pro از هر ۶ تکرار یک میانگین گرفته شد. در شکل (۳) میانگین منحنی‌های خام بازتاب طیفی خاک‌ها ارائه شده است. بدین ترتیب برای هر نمونه خاک یک طیف که بیانگر طیف بازتابی آن باشد در فایل اصلی داده‌ها ثبت شد. بهمنظور ارتقاء و بارزسازی تفاوت موجود در طیف‌های خاک‌ها از منحنی حذف پیوستار استفاده شد. منحنی حذف پیوستار، منحنی است که بر اساس خطی محدب و فرضی که دو انتهای یک مشخصه جذب طیفی را به یکدیگر وصل می‌کند، به دست می‌آید. منحنی بدون پیوستار دارای ارزش صفر تا یک می‌باشد. بر این اساس مقادیر جذب‌های ناخواسته عوامل مشخص در این منحنی، حذف و یا به کمترین مقدار رسیده است. در این منحنی‌ها واریانس مطلق حذف و می‌شوند(۹).

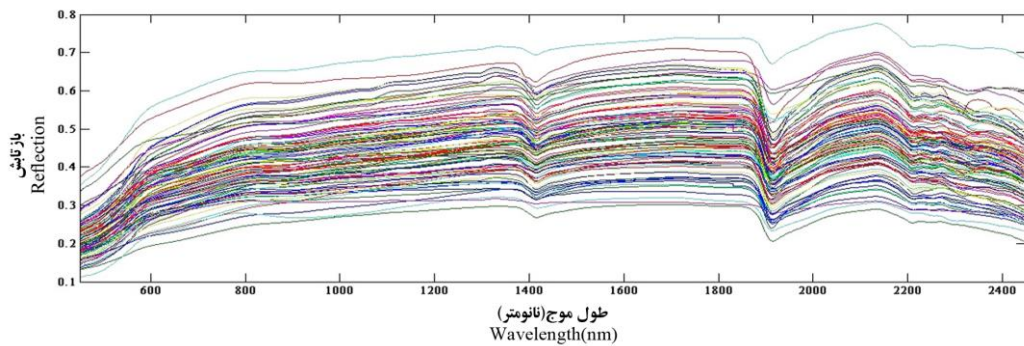
که در آن Wi ، وزن ذرات باقی مانده در دامنه‌ی θ (Wi(s)، وزن ذرات شن و سنگریزه در دامنه‌ی θ و Wt ، وزن آون-خشک خاک باشد. از اختلاف الک خشک با الک تر، به عنوان شاخصی از پایداری خاکدانه، برای مدل سازی پارامترهای مورد نظر استفاده شد.

بازتاب‌های طیفی

بازتاب‌های طیفی خاک به وسیله دستگاه طیف‌سنج زمینی با دامنه طول موج‌های مرئی-مادون قرمز نزدیک در گستره ۲۵۰۰ - ۳۵۰ نانومتر برداشته شد. این طیف‌سنج دارای سه ثبات مجزا در طول موج‌های ۱۰۰۰ - ۱۸۰۰، ۳۵۰ - ۱۸۰۱ و ۲۵۰۰ - ۲۵۰۱ نانومتر بوده که دارای درجه حساسیت متفاوتی نسبت به دما و رطوبت می‌باشد. اندازه تفکیک طیفی دستگاه در محدوده مرئی و مادون قرمز نزدیک ۱۰۰۰ - ۳۵۰ نانومتر معادل ۳ نانومتر، در محدوده ۱۸۳۰ - ۱۰۰۰ نانومتر ۶ نانومتر و در محدوده ۲۵۰۰ - ۱۰۰۰ نانومتر ۱۰ نانومتر است. سرعت برداشت هر منحنی طیفی نیز ۰/۱ ثانیه است (شکل ۲). ۵۰ گرم از هر نمونه خاک هوا خشک با اندازه کوچک‌تر از ۲ میلی‌متر درون یک پتری-دیش (۱۰×۱۰ سانتی‌متر) قرار داده شد. سپس بهمنظور به حداقل رساندن اثرات زبری سطح خاک بر انعکاس طیفی، سطح نمونه‌ها خاک با تیغه فلزی صاف و هموار گردید. برای اندازه‌گیری توزیع تابش در ناحیه طول موج خاصی از آشکار سازها استفاده می‌شود. برای این منظور پس از بهینه‌سازی دستگاه و واسنجی آن بهوسیله مرجع سفید میزان نوری توسط یک لامپ هالوژن ۱۵۰ وات با زاویه ۴۵ درجه



شکل (۲) دستگاه طیف‌سنج زمینی ®3, ASD,FR,USA
Figure(2) Field Spectroradiometr ®3, ASD,FR,USA



شکل(۳) منحنی‌های خام بازتاب طیفی خاک‌های مورد مطالعه
Figure(3) Raw curves of spectral reflectance of the study soils

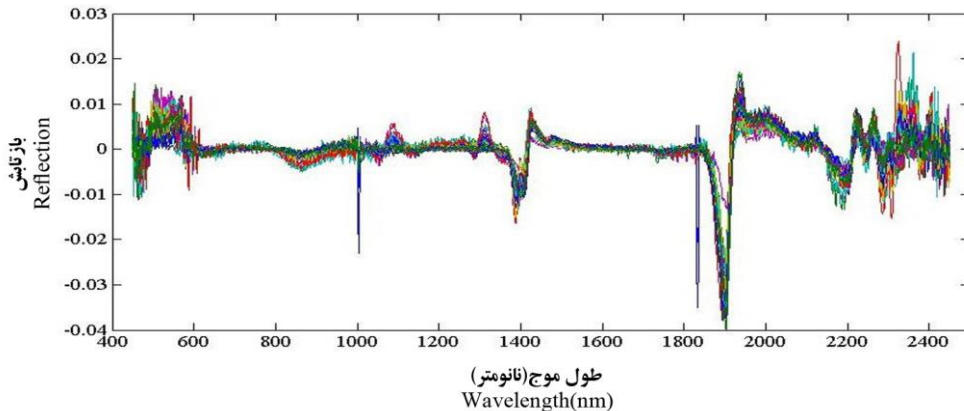
مصنوعی) که در داخل شبکه به هم وصل شده‌اند. هر واحد دارای یک مشخصه‌ی ورودی و خروجی بوده که محاسبه‌ی یا عمل جزئی را اجرا می‌کند. مدل‌های شبکه‌ی عصبی مصنوعی بیشینه اطلاعات را از داده‌ها استخراج کرده و توابع انتقالی بسیار دقیقی را فراهم می‌آورند (۳۴). مزیت مهم شبکه‌های عصبی مصنوعی در مدل‌سازی، عدم نیاز آن‌ها به یک رابطه فیزیکی برای تبدیل سیستماتیک ورودی‌ها به خروجی است. یکی از متداول‌ترین شبکه‌های عصبی مورد استفاده برای حل مسائل پیچیده و غیرخطی، شبکه عصبی پرسپترون چند لایه (MLP) با آموزش نظارت شده و الگوریتم پس انتشار خطی می‌باشد. در این تحقیق از شبکه عصبی مصنوعی پرسپترون چند لایه با یک لایه مخفی که دارای تابع فعال‌سازی سیگموئید در لایه همچنین به علت کارایی، سادگی و سرعت بالا در این تحقیق الگوریتم آموزشی لونبرگ مارکوارت استفاده شد. در تحقیق حاضر برای ساختن شبکه عصبی مصنوعی و انجام پیش‌بینی‌ها از نرم‌افزار Matlab استفاده شد.

رگرسیون خطی چندگانه گام به گام (SMLR) رگرسیون چندگانه، ارتباط بین یک سری از متغیرهای مستقل را با متغیر وابسته موردنظر بیان می‌کنند.

تجزیه و تحلیل حذف پیوستار نوعی نرمال‌سازی منحنی طیفی در دامنه طول موج‌های موردنظر است. منحنی‌های CR دارای مقادیری بین صفر تا یک بوده که باعث ارتقاء و بارزسازی تفاوت موجود در طیف‌های خاک‌ها می‌شود. همچنین به دلیل داشتن نویزها ۵۰ نانومتر از ابتدا و انتهای طیف‌ها حذف گردید. انواع روش‌های پیش‌پردازش همچون فیلتر میانه، فیلتر ساویتکی و گلایی، نرمال‌سازی بر اساس میانگین، متغیر نرمال استاندارد (SNV)، تصحیح پخشیده چندگانه (MSC)، مشتق اول همراه فیلتر ساویتکی و گلایی و مشتق دوم به همراه فیلتر ساویتکی و گلایی بر روی طیف‌های بازتابی به منظور حذف آشفتگی‌ها، حذف عوامل محیطی، بالا بردن کیفیت داده‌ها و به دست آوردن نتایج بهتر با استفاده از نرم افزار ParLes انجام شد. شکل(۴) نمودار طیفی ۱۰۰ نمونه خاک را بعد از اعمال پیش‌پردازش (مشتق اول + فیلتر ساویتکی و گلایی + فیلتر میانه + متغیر نرمال استاندارد) نشان می‌دهد. به منظور تسهیل در روند آنالیز داده‌ها از طیف‌های بازتابی برای هر ۵ نانومتر یک میانگین گرفته شد و در آنالیزهای بعدی مورد استفاده قرار گرفت.

مدل سازی و ارزیابی روش‌ها

شبکه عصبی مصنوعی
شبکه‌های عصبی مصنوعی (ANN)، ساختاری شبکه‌ای است متشکل از تعدادی واحد (نرون‌های



شکل(۴) منحنی‌های مشتق اول + فیلتر ساویتزکی و گلای + متغیر نرمال استاندارد از طیف‌های خام خاک
Figure(4) Curves of First derivative + Savitzki filter and Glay + Mid filter + Standard variables of soil raw spectra

داده‌ها به سه قسمت شامل ۶۵ درصد برای آموزش، ۱۰ درصد برای اعتبارسنجی و ۲۵ درصد برای صحت‌سنجی تقسیم شدند. پس از تعیین مدل مناسب، با استفاده از محاسبه پارامترهای ضریب تبیین (R^2)، میانگین خطای (RMSE) و مجدور میانگین مربعات خطای (ME) اعتبارسنجی شد.

$$R^2 = \frac{\sum(x-\bar{x})(y-\bar{y})}{\sqrt{\sum(x-\bar{x})^2(y-\bar{y})^2}} \quad (5)$$

$$ME = \frac{1}{n} \sum_{i=1}^n (Z_0 - Z_p)^2 \quad (6)$$

$$RMSE = \sqrt{\frac{1}{n} \sum_{i=1}^n (Z_0 - Z_p)^2} \quad (7)$$

که در آنها Z_0 و y مقادیر پیش‌بینی شده، Z_p و x مقادیر مشاهداتی، \bar{x} و \bar{y} به ترتیب مقادیر مطلق مشاهداتی و پیش‌بینی شده است.

نتایج و بحث

در جدول ۱ خلاصه خصوصیات آماری ویژگی‌های خاک‌های منطقع مورد مطالعه در عمق ۰-۳۰ سانتی‌متری آمده است. میانگین شوری خاک در منطقه نشان دهنده شوری کم تا زیاد در منطقه مورد بررسی است. بیشترین مقدار آن نیز در مرکز، جنوب و جنوب غربی منطقه مطالعاتی (عمدتاً شوره‌زارهای بدون پوشش) و کمترین مقدار در شمال غربی، جنوب شرقی، شمال شرقی و شمال منطقه مطالعاتی (عمدتاً بلندی‌های با پوشش مرتعی) مشاهده شد. با توجه به حداقل و حداقل اسیدیتی خاک،

برای ایجاد رابطه‌ای خطی بین متغیرهای مستقل x_1, x_2, \dots, x_n و متغیر Y که وابسته به آن‌ها بوده، بایستی رابطه‌ای بین آن‌ها برقرار باشد:

$$Y = a_0 + a_1 x_1 + a_2 x_2 + \dots + a_n x_n + e \quad (4)$$

در این رابطه، مقادیر a_1, a_2, \dots, a_n ضرایب رگرسیون است. ضرایب رگرسیون، ضرایب نامشخصی بوده که مسئول برآورد پارامتر وابسته می‌باشد. در این پژوهش برای آنالیز رگرسیونی خطی چندگانه گام‌به‌گام (SMLR) و تعیین ضریب همبستگی پیرسون از نرم افزار ۲۳ SPSS استفاده شد. خصوصیات خاک به عنوان متغیرهای وابسته و داده‌های طیفی خاک به عنوان متغیرهای مستقل مدل خطی چندگانه در نظر گرفته شدند. برای ارزیابی آزمون همراستیای بین متغیرهای مستقل از فاکتور عامل تورم واریانس^۱ (VIF) استفاده شد. در صورتی که شاخص VIF متغیری مستقل کمتر از مقدار بحرانی (بین ۵ - ۱۰) باشد، بدین معنی است که این متغیر مستقل با دیگر متغیرها دارای همبستگی نمی‌باشد. برای آزمون استقلال خطاهای از یکدیگر نیز از آزمون دورین-واتسون^۲ استفاده شد. چنان‌چه مقدار این آماره بین ۱/۵ تا ۲/۵ قرار گیرد، فرض وجود همبستگی بین خطاهای رد شده و می‌توان از معادلات رگرسیونی بهره گرفت. به منظور ارزیابی عملکرد روش‌ها در تخمین،

1- Variance Inflation Factor
2. Durbin-Watson

جدول(۱) پارامترهای آماری داده‌ها
Table(1) statistical parameters of data

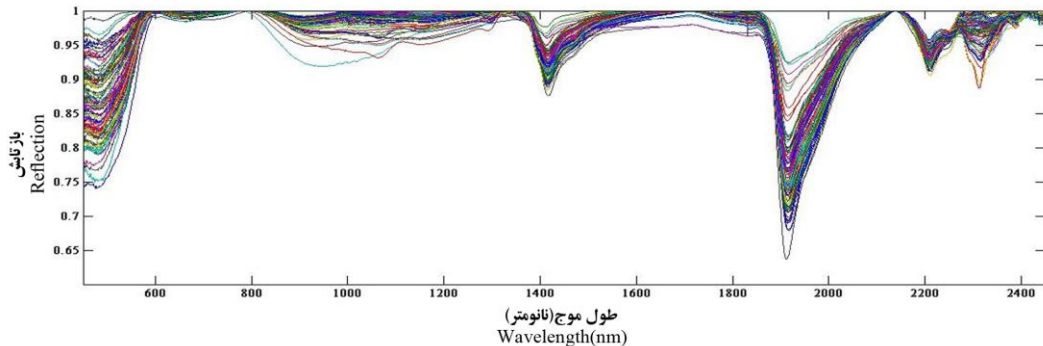
پارامترها	حداقل	حداکثر	میانگین	چولگی	کشیدگی	انحراف معیار	واریانس	ضریب تغییرات
Characteristic	Minimum	Maximum	Mean	Skewness	Kurtosis	StDev	Variance	CV
EC	0.23	14.83	1.43	4.24	19.73	2.29	5.27	1.60
pH	6.44	9.77	7.63	1.07	2.67	0.55	0.31	0.07
SAR	0.17	52.72	4.62	4.51	23.66	7.39	54.66	1.59
OC	0.21	2.57	0.95	1.34	1.60	0.49	0.24	0.51
% CaCO ₃	3	69.75	24.37	1.18	0.82	16.22	263.24	0.66
Δ MWD	0.05	0.88	0.29	1.35	3.10	0.15	0.02	0.51

پیوستار بصورت بارزتری دیده می‌شود. این مشخصه‌های جذبی نشان دهنده وجود آب آزاد و هیگروسکوپیک در ۱۴۱۴ نانومتر، گروههای هیدرواکسیل در ۱۹۱۹ نانومتر، پیوند گروههای عاملی هیدرواکسید با فلزات آهن، منیزیم و آلومینیوم در ۲۲۱۲ نانومتر می‌باشد (۱۱). پژوهش‌ها نشان داده‌اند که مشخصه جذبی ۲۳۴۱ نانومتر نیز نشان دهنده وجود گروههای کربناتی در کانی‌های کربناته است (۱۷). در شکل ۶ ضریب همبستگی پیرسون (*r*) بین پارامترها و مقادیر بازتاب طیف‌ها مربوط به هر طول موج در بازه‌ی ۴۰۰-۲۴۵۰ نانومتر نشان داده شده است. با توجه به نتایج، بین ویژگی‌های اندازه‌گیری شده با مقادیر بازتاب طیفی خاک همبستگی نسبتاً بالایی وجود دارد. نتایج نشان داد ضریب همبستگی اندازه‌گیری شده می‌تواند مثبت یا منفی باشد. بیشینه ضریب همبستگی مثبت برای هدایت الکتریکی، اسیدیته خاک، نسبت جذب سدیم، کربن آلی، کربنات کلسیم و پایداری خاکدانه به ترتیب در طول موج‌های ۲۲۲۹، ۲۳۹۷، ۲۳۹۹ تا ۲۳۹۸، ۱۲۹۸، ۱۲۹۰، ۲۰۱۴ و دو طیف ۶۶۰ و ۲۲۵۷ میلیمتر متوسط باشند. بیشینه ضریب همبستگی ۰/۵۳** و ۰/۴۰** به دست آمد و بیشینه ضریب همبستگی منفی برای هدایت الکتریکی، اسیدیته خاک، نسبت جذب سدیم، کربن آلی، کربنات کلسیم و پایداری خاکدانه به ترتیب در طول موج‌های ۶۳۰، ۲۲۸۹، ۶۳۰، ۱۹۰۴، ۱۹۰۴ و ۲۱۰۷ میلیمتر متوسط باشند. شایان ذکر است که این مشخصه‌های جذبی در دست آمد.

عملده خاک‌های مورد مطالعه قیایی بودند. حداکثر اسیدیته و نسبت جذب سدیم نشان می‌دهد که نقاط مرکزی منطقه مورد مطالعه دارای خاک‌های شور و سدیمی می‌باشند. حداقل شاخص پایداری خاکدانه (Δ MWD) و میانگین پایداری خاکدانه با توجه به اینکه افزایش شوری خاک موجب کاهش پایداری خاکدانه‌ها می‌شود (۲۹) نیز این امر را تأیید می‌کند. درنتیجه می‌توان گفت اکثر منطقه دارای پایداری خاکدانه ضعیفی می‌باشد. از آنجا که منطقه عملده شورهزارهای بدون پوشش گیاهی است. از این رو میانگین درصد کربن آلی کم مشاهده شد. مقدار کربنات کلسیم در بازه‌ی گسترهای قرار داشت که از ۳ درصد تا ۶۹ درصد متغیر بود و بیشترین مقدار کربنات کلسیم در قسمت‌های مرکزی، و جنوب غربی منطقه قرار داشت. منحنی‌های حذف پیوستار نمونه‌ها با استفاده از نرم‌افزار ENVI 4.8 طبق رابطه ۸ محاسبه شدند

$$R_{CR(\lambda i)} = \frac{R_{\lambda i}}{R_{CL(\lambda i)}} \quad (8)$$

که در آن، $R_{CR(\lambda i)}$ مقدار بازتاب در منحنی حذف پیوستار به ازای طول موج λ_i می‌باشد. $R_{\lambda i}$ مقدار بازتاب طول موج متناظر در منحنی خام طیفی و $R_{CL(\lambda i)}$ مقدار بازتاب منحنی فرضی در طول موج‌های متناظر می‌باشند. (شکل ۵) منحنی‌های خام طیفی دارای یک برآمدگی در طول موجهای ۵۰۰ تا ۶۰۰ نانومتر و همچنین سه مشخصه جذبی مهم در طول موج‌های ۱۴۱۴، ۱۹۱۵ و ۲۲۱۲ نانومتر می‌باشند. شایان ذکر است که این مشخصه‌های جذبی در منحنی‌های حذف

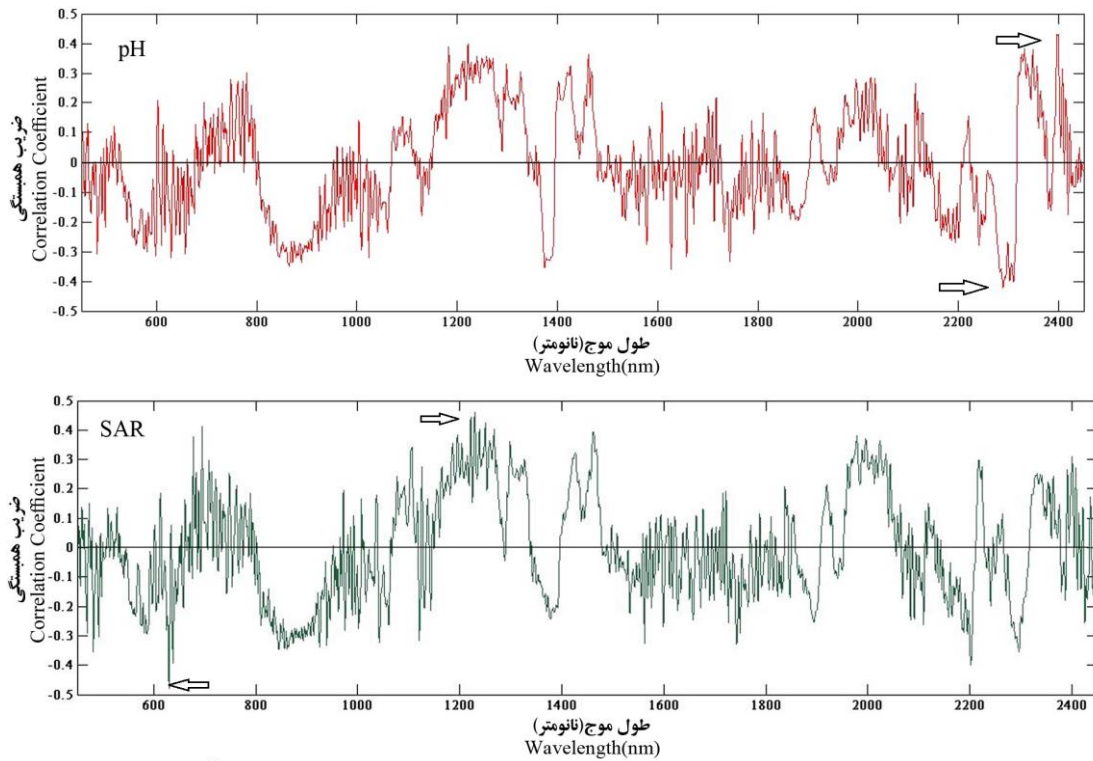


شکل(۵) منحنی های حذف پیوستار بازتاب طیفی خاک های مورد مطالعه
Figure(5) Continuous Removal Curves of Spectral reflectance of the study soils

نتایج مدل سازی

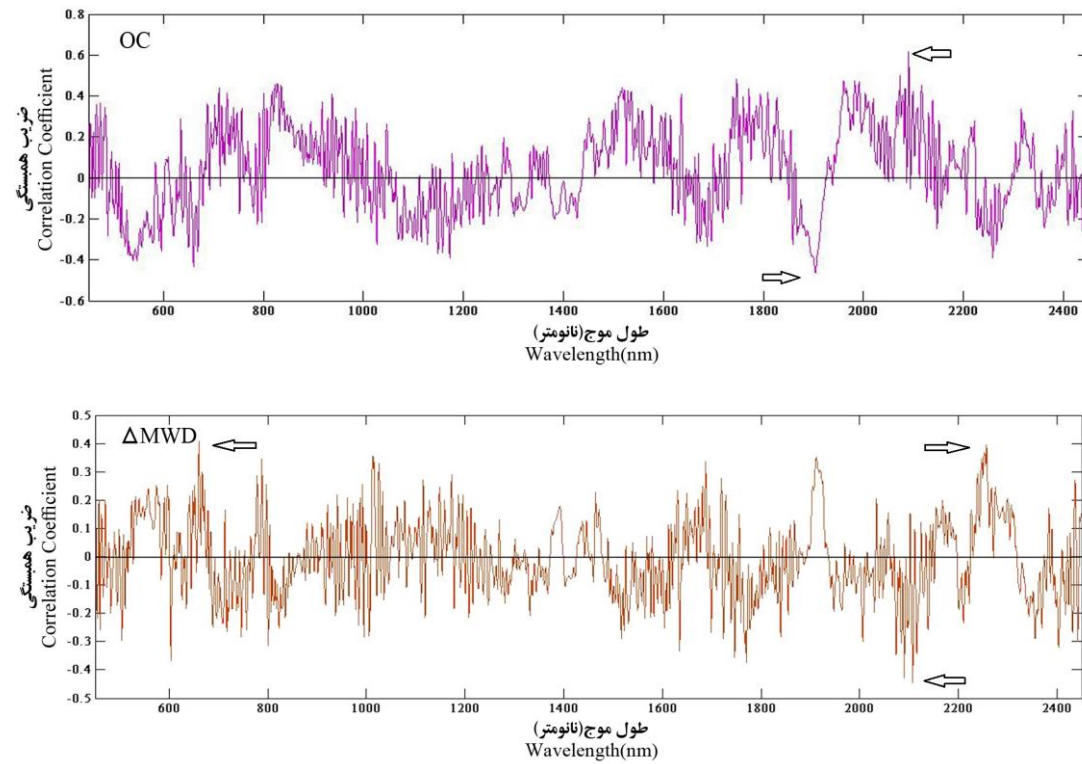
ساختار شبکه یک فاکتور اساسی در طراحی شبکه عصبی مصنوعی می باشد. زیرا این ساختار بروی سرعت یادگیری و صحت طبقه بندی نهایی تاثیرگذار است. تعداد لایه های مخفی و تعداد نرون ها جزء اجزای اصلی شبکه پرسپترون می باشد. بجز ساختار شبکه عصبی مصنوعی که ذکر شد تعداد اپوک در مرحله یادگیری بسیار حائز اهمیت می باشد. تعداد نرون ها در لایه های ورودی و خروجی ثابت بوده و بسته به تعداد ورودی و خروجی مدل به کار گرفته شده دارد. لایه ورودی شبکه شامل یک ورودی می باشد. لایه خروجی شامل یک نرون می باشد. تعداد نرون ها و لایه های مخفی بستگی به پیچیدگی مسئله مورد نظر دارد. در اینجا یک لایه مخفی برای ایجاد شبکه پرسپترون مورد استفاده قرار گرفت. تعداد نرون های لایه مخفی و همچنین تعداد اپوک در فرآیند آموزش و به صورت سعی و خطأ به دست آمدند. در این پژوهش، تعداد نرون ۲ تا ۱۰ و تعداد تکرار ۱۰۰ تا ۱۰۰۰ مورد آزمایش قرار گرفت. نتایج ریشه میانگین مربعات خطأ، میانگین خطأ و ضریب تبیین برای پارامترهای اندازه گیری شده توسط شبکه عصبی مصنوعی با استفاده از اطلاعات طیفی خاک در جدول ۳ نشان داده شده است.

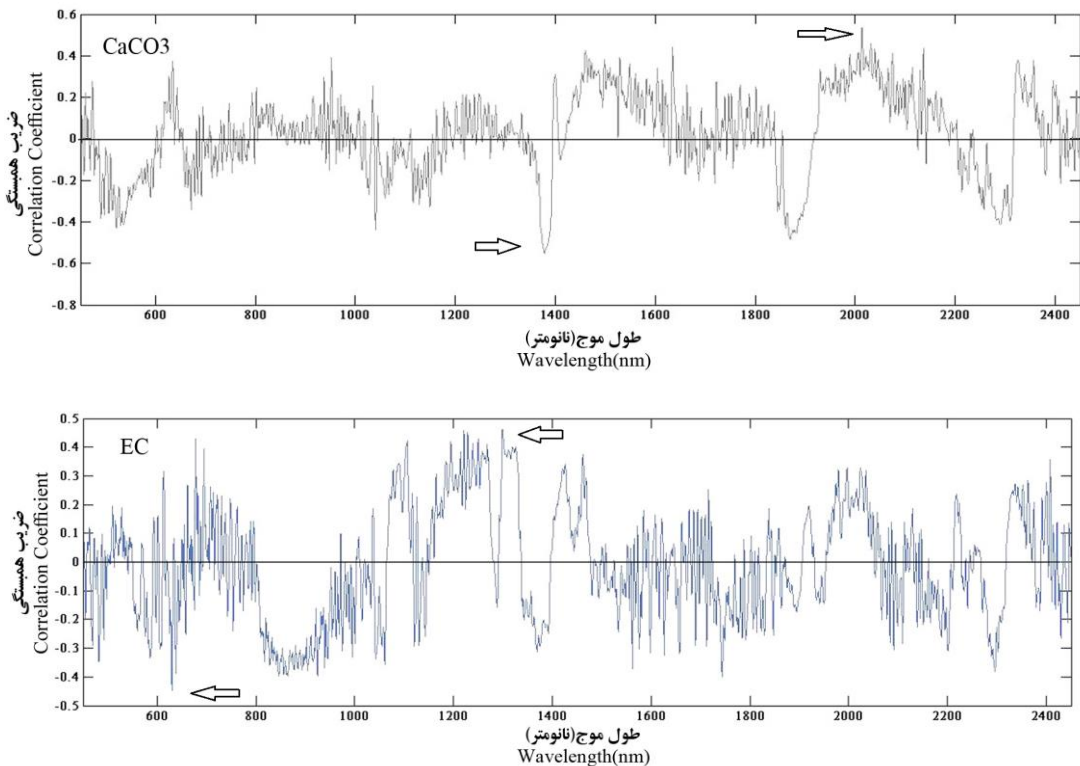
شایان ذکر است که طول موج های ۱۹۰۴، ۱۹۹۸ و ۱۲۲۹ که به ترتیب دارای بیشینه همبستگی کربن آلی، نسبت جذب سدیم و هدایت الکتریکی خاک با داده های طیفی است، از طول موج های نزدیک به مشخصه جذبی آب در خاک (۱۴۱۴ نانومتر) و گروه های هیدروواکسیل موجود در شبکه کانی های رسی (۱۹۱۹ نانومتر) است. برای کربنات کلسیم ضریب همبستگی مثبت در طول موج ۲۰۱۴ مشاهده شد که این همبستگی ها بسیار نزدیک به مشخصه های جذبی مجاور طول موج ۲۳۴۱ نانومتر بوده که می تواند به دلیل وجود گروه های CO_3 موجود در کانی های کربناته باشد. همچنین یافته های ضریب همبستگی برای پایداری خاکدانه در طول موج های ۲۱۰۷ و ۲۲۵۷ نانومتر و برای اسیدیته خاک در ۲۳۹۷ و ۲۲۸۹ نانومتر مشاهده شد، که نزدیک به طول موج های جذبی ۲۲۱۰ نانومتر می باشند. مشخصه جذبی موجود در شبکه کانی های رسی می باشد. شاید بتوان علت این موضوع را به نقش رس های معدنی و اکسید های آهن و آلومینیوم در خاکدانه سازی و پایداری خاکدانه ها نسبت داد. وجود چنین همبستگی های بالایی بین ویژگی های خاک و مقادیر بازتاب طیفی توسط دیگر پژوهشگران نیز گزارش شده است (۵، ۷ و ۲۰).



شکل(۶) ضریب همبستگی پیرسون (r) بین پارامترهای خاک و مقادیر بازتاب طیف‌ها مربوط به هر طول موج در ۴۰۰-۲۴۵۰ نانومتر

Figure(6)Pearson Correlation Coefficient (r) between the soil parameters and reflection values of the spectra related to each wavelength in the range of 2450-400 nm





ادامه شکل(۶) ضریب همبستگی پیرسون (r) بین پارامترهای خاک و مقادیر بازتاب طیف‌ها مربوط به هر طول موج در ۴۰۰-۲۴۵۰ نانومتر

Figure(6) Pearson Correlation Coefficient (r) between the soil parameters and reflection values of the spectra related to each wavelength in the range of 2450-400 nm

شناسایی "finger-print" و شبکه عصبی مصنوعی (ANN) برای تشخیص ترکیبات شیمیایی را بررسی کردند. نتایج حاصل از تحقیق آن‌ها به وضوح نشان داد که استفاده از شبکه‌های عصبی مصنوعی و تشخیص مبتنی بر روش به اصطلاح «اثر انگشت»، امکان توسعه مدل شبکه عصبی را فراهم می‌کند. لذا به شناسایی بهتر ترکیبات شیمیایی با استفاده از طیف جنبی مادون قرمز کمک می‌کند. کونگ و همکاران^{۲۳} که با استفاده از شبکه عصبی مصنوعی به برآورد اسیدیته خاک، رس و کربن خاک پرداختند و به ضرایب تبیین معادل ۰/۹۰ برای کربن آلی، ۰/۸۶ برای اسیدیته خاک و ۰/۸۵ برای رس دست یافتند.

هرچه آماره‌های مجدور میانگین مربعات خطای میانگین خطای کمتر و ضریب تبیین بیشتر باشد کارآیی مدل بیشتر است (۰/۲۶). و بیشترین ضریب تبیین برای آموزش (۰/۹۹) که مربوط به پارامتر هدایت الکتریکی می‌باشد و برای صحت سنجی (۰/۸۸) که مربوط به پارامتر هدایت الکتریکی و کمترین ضریب تبیین برای آموزش (۰/۵۹) برای پارامتر اسیدیته خاک و در صحت سنجی (۰/۲۵) برای پارامتر اسیدیته خاک از اطلاعات طیفی خاک و با استفاده از شبکه عصبی مصنوعی به دست آمد. از پژوهش‌های دیگری که با استفاده از شبکه عصبی مصنوعی انجام شده، می‌توان به تشخیص ترکیبات شیمیایی بر اساس اسپکتروسکوپی مادون قرمز با استفاده از شبکه‌های عصبی مصنوعی توسط کریستینا و سالوامیر^{۲۵} (۰/۲۵) اشاره کردند که امکان استفاده از روش

جدول (۳) نتایج مدل‌ها برای پیش‌بینی پارامترهای مطالعه مورد مطالعه

Table(3) Models results to predict the study parameters

		پارامترها		میانگین مربعات خطأ						
		ME	R ²	RMSE	Characteristic					
		رگرسیون شبکه خطی	رگرسیون شبکه خطی	رگرسیون شبکه خطی	رگرسیون شبکه خطی	رگرسیون شبکه خطی	رگرسیون شبکه خطی	رگرسیون شبکه خطی	رگرسیون شبکه خطی	رگرسیون شبکه خطی
SMLR	ANN	SMLR	ANN	SMLR	ANN	SMLR	ANN	SMLR	ANN	SMLR
1.78	0.05	0.67	0.99	1.33	0.23	EC				
0.25	0.14	0.32	0.59	0.50	0.39	pH				
15.3	28.94	0.30	0.75	3.91	5.38	SAR	آموزش			
0.06	0.07	0.70	0.86	0.25	0.28	%OC	Train			
87.08	118.25	0.62	0.56	9.33	10.87	%CaCO ₃				
0.01	0.009	0.48	0.72	0.1	0.09	Δ MWD				
3.94	0.23	0.45	0.88	1.98	0.81	EC				
0.16	0.12	0.13	0.25	0.4	0.59	pH				
11.78	6.59	0.23	0.59	3.43	2.56	SAR	صحت‌سنگی			
0.07	0.09	0.66	0.68	0.27	0.3	%OC	Test			
174.6	170.23	0.48	0.52	13.21	13.04	%CaCO ₃				
0.01	0.017	0.28	0.48	0.10	0.13	Δ MWD				

باشد. کمترین ضریب تبیین برای آموزش (۰/۳۰) برای پارامتر نسبت جذب سدیم و در صحت‌سنگی (۰/۱۳) برای پارامتر اسیدیته خاک از اطلاعات طیفی خاک و با استفاده از رگرسیون خطی چندگانه به دست آمد. مطالعات دیگری نیز با استفاده از رگرسیون خطی تاکنون انجام شده که میتوان به اندازه‌گیری کربن آلی خاک و نیتروژن کل با استفاده از طیف‌سنگی آزمایشگاهی توسط سورنسون و همکاران^۳ (۳۵) اشاره کرد. کریمی و همکاران^۴ (۲۰) با استفاده از طیف‌سنگی خاک به برآورد برخی ویژگی‌های مبنایی خاک پرداختند و به ضریب تبیین معادل ۰/۶۶ رس، سیلت ۰/۷۰، شن ۰/۷۲، کربن آلی ۰/۷۲، ظرفیت تبادل کاتیونی ۰/۷۵ دست یافتند. کنسوکه و همکاران^۵ (۲۱) از طیف‌های بازتابی خاک برای برآورد نیتروژن و کربن خاک با استفاده از رگرسیون خطی در اراضی ماداگاسکار

در این پژوهش برای ایجاد توابع رگرسیونی خطی چندگانه برای خصوصیات ذکر شده با استفاده از متغیرهای مستقل طیفی، از روش گام به گام^۱ ورود متغیرها استفاده شد. فرض استقلال خطاهای بررسی گردید و فرض عدم وجود همبستگی بین خطاهای رد نشده و لذا از رگرسیون استفاده شد. افزون بر این، فرض همراستایی چندگانه^۲ بین متغیرهای مطالعه نیز بررسی شد. شایان ذکر است که در این پژوهش برای اطمینان از حذف اثر همراستایی چندگانه، از مقدار VIF کمتر از ۵ استفاده شد. نتایج ریشه میانگین مربعات خطأ، میانگین خطأ و ضریب تبیین برای پارامترهای اندازه‌گیری شده توسط رگرسیون خطی چندگانه با استفاده از اطلاعات طیفی خاک در جدول ۳ نشان داده شده است. نتایج نشان داد یشترين ضریب تبیین برای آموزش (۰/۷۰) و برای صحت‌سنگی (۰/۶۶) مربوط به پارامتر کربن آلی می-

3- Sorenson *et al.*4- Karimi *et al.*5- Kensuke *et al.*

1- Stepwise Method

2- Multicollinearity

رس و کربن با استفاده از دو روش شبکه عصبی و رگرسیون خطی کردند. نتایج بدست آمده از پژوهش آنها نشان داد که شباهت‌های مکانی بهتر بین نقشه‌های پیش‌بینی شده توسط ANN (مقادیر کاپا بالاتر) نسبت به پیش‌بینی‌های حاصل از روش PLSR وجود دارد. با توجه به نتایج، مقادیر ضریب تبیین (R^2) دو روش شبکه عصبی و رگرسیون خطی به ترتیب برای کربن آلی ۰/۹۰ و ۰/۸۱ و برای اسیدیته خاک به ترتیب ۰/۸۶ و ۰/۷۶ و برای رس به ترتیب ۰/۸۵ و ۰/۸۱ بدست آمد که با نتایج حاصل از این پژوهش همخوانی دارد. همچنین آلدابا و همکاران^۳ (۲۰۰۴) با استفاده از داده‌های طیفی خاک و دو مدل رگرسیون حداقل مربعات جزئی و رگرسیون برداری پشتیبان در غرب تنگاز اقدام به تخمین هدایت الکتریکی خاک کردند. با توجه به این پژوهش، مقادیر ضریب تبیین و محدود میانگین مربعات خطای برای دو مدل رگرسیون حداقل مربعات جزئی و رگرسیون برداری پشتیبان به ترتیب برابر با ۰/۹۱ و ۰/۲۵۸ در مقابل ۰/۸۹ و ۰/۲۸۶ به دست آمد. خلیلی مقدم و همکاران^۴ (۲۰۰۷) در پژوهشی برای تخمین هدایت هیدرولیکی اشباع خاک از شبکه عصبی مصنوعی و رگرسیون خطی استفاده کردند. این محققین بیان کردند که به طور کلی شبکه‌های عصبی مصنوعی در تخمین هدایت هیدرولیکی اشباع خاک داری کارایی بهتری از رگرسیون چند متغیره خطی (۰/۶۹) هستند. از مزایای شبکه عصبی مصنوعی میتوان به عدم محدودیت در تعداد ورودی و خروجی، قابلیت مدل سازی رفتارهای غیر خطی و آشوبناک، عدم حساسیت به تغییرات ناگهانی و نویز، آموزش سریع، دارای فرایند جلوگیری از آموزش بیش از اندازه، دارای تopolyozی‌های مختلف با کارایی متفاوت در داده‌های متفاوت، قابلیت لحاظ کردن پارامترهای گستته و قابلیت اتصال به سیستم‌های بهینه سازی برای بهبود کارایی اشاره کرد.

استفاده کردند و به مقدار ضریب تبیین (۰/۹۷) برای کربن و (۰/۹۴) برای نیتروژن دست یافتند. بابائیان و همکاران^۱ (۲۰۰۵) در پژوهشی، علاوه بر ویژگی‌های هیدرولیکی خاک برخی از ویژگی‌های مبنای خاک را نیز با استفاده از داده‌های طیفی پیش‌بینی کردند. این محققین نشان دادند که ضریب تبیین (R^2) و ریشه میانگین مربعات خطای (RMSE) توابع پیشنهادی برای رس به ترتیب معادل ۰/۶۵ و ۰/۳۹ درصد، برای شن به ترتیب معادل ۰/۷۰ و ۰/۰۵ درصد، برای جرم ویژه ظاهری به ترتیب معادل ۰/۵۷ و ۰/۰۴ گرم بر سانتی‌متر مکعب، برای ماده آلی به ترتیب معادل ۰/۶۹ و ۰/۱۴ درصد و برای میانگین هندسی قطر ذرات خاک نیز به ترتیب ۰/۶۵ و ۰/۰۴ میلی‌متر می‌باشد. در مجموع این محققین استفاده از ویژگی‌های طیفی خاک را برای دسترسی به برآوردهای غیرمستقیم و نسبتاً دقیق از ویژگی‌های فیزیکی و شیمیایی مورد مطالعه پیشنهاد کردند.

مقایسه مدل‌ها

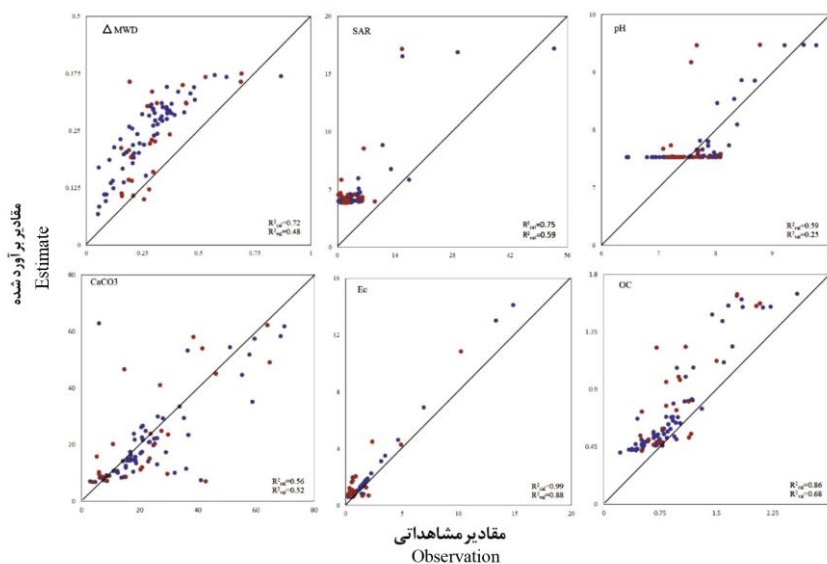
با توجه به جدول ۳ بر اساس آماره‌های ریشه میانگین مربعات خطای، میانگین خطای و ضریب تبیین برای تخمین خصوصیات ذکر شده با استفاده اطلاعات طیف‌سنجی شبکه عصبی نتایجی بهتری در مقایسه با مدل رگرسیون خطی از خود نشان داد. با توجه به نتایج، شبکه عصبی مصنوعی با بهره‌گیری از داده‌های طیفی دارای عملکرد بهتری می‌باشد. در شکل ۷ نمودار پراکنش داده‌های پیش‌بینی شده خصوصیات مختلف با استفاده از مدل شبکه عصبی مصنوعی و بهره‌گیری از داده‌های طیفی خاک در برابر مقادیر اندازه‌گیری شده آنها ارائه شده است. همان‌گونه که در این شکل، مشاهده می‌شود بهترین خط برآش شده دارای زاویه‌ای نزدیک به ۴۵ درجه بوده که نشان‌دهنده دقیق بالای برآوردها مدل شبکه عصبی مصنوعی با استفاده از اطلاعات طیفی خاک می‌باشد. کونگ و همکاران^۵ (۲۰۰۴) با استفاده از طیف سنجی اقدام به برآورد اسیدیته خاک،

3- Aldabaa *et al.*

4- Khalilimoqadam *et al.*

1- Babaeian *et al.*

2- Kuang *et al.*



شکل(۷) دیاگرام دقیق نتایج آموزش (دایره های آبی) و صحبت سنجی (دایره های قرمز) مقادیر مشاهداتی و برآورده شده
Figure (7) Diagram of the results accuracy of the training (blue circles) and test (red circles) of observed and estimate values

برآورد این ویژگی ها به منظور ارزیابی دقیق توابع پیشنهادی استفاده شد. نتایج ارزیابی بر اساس آماره های میانگین خط، ریشه میانگین مریعات خط نرمال شده و ضریب تبیین نشان داد که شبکه عصبی مصنوعی نتایجی بهتری جهت تخمین ویژگی های خاک های مبتلا به نمک داشته و استفاده از داده های طیفی خاک می تواند به عنوان روشی غیر مستقیم برای برآورد ویژگی های خاک مورد استفاده قرار گیرد

نتیجه گیری

در این پژوهش، امکان استفاده از داده های طیفی خاک گستره مرئی - مادون قرمز نزدیک برای برآورد برخی ویژگی های خاک های مبتلا به نمک ارزیابی شد. پس از ثبت داده های طیفی و میانگین گیری از آن ها، منحنی حذف پیوستار و پیش پردازش داده های طیفی انجام شد. نتایج نشان داد بهترین روش پیش پردازش داده های طیفی، مشتق اول + فیلتر ساویتکی و گلای + فیلتر میانه + متغیر نرمال استاندارد می باشد. از دو مدل رگرسیون خطی چند گانه و شبکه عصبی مصنوعی برای

منابع

- Abasi, M., Darvish, A. and Chapman, M. 2010. Spectral reflection curve of Northern rice cultivars in red edge region. Geomatics Conferences and Exhibitions. (In Persian)
- Aldabaa, A. A. A., Weindorf, D. C., Chakraborty, S., Sharma, A. and Li, B. 2015. Combination of proximal and remote sensing methods for rapid soil salinity quantification. Geoderma, 34(46): 229–240
- Allison LE and Moodie CE 1965. Carbonate. In: Black CA et al. (ed). Methods of Soil Analysis, Part 2. (Agronomy 9). (pp. 1379-1400). Madison, WI, USA: Am. Soc. of Agron.

4. Babaeian, E., Homae, M. and Norouzi, .A.A.2014. Evaluation of spectral transfer functions and soil transfer functions in predicting soil water retention. *Protection of Water Resources*, 3(2): 25-42. (In Persian)
5. Babaeian, E., Homae, M., Montzka, C., Vereecken, H. and Norouzi, A.A. 2015. Towards retrieving soil hydraulic properties by hyperspectral remote sensing. *Vadose Zone Journal*, 14(3), doi: 10.2136/vzj2014.07.0080.
6. Ben-Dor, E. and Banin, A. 1995. Near-infrared analysis as a rapid method to simultaneously evaluate several soil properties. *Soil Science Society of America Journal*, 59: 364-372
7. Bilgili, A. V., Van Es, H. M., Akbas, F., Durak, A. and Hively, W. D. 2010. Visible-near infrared reflectance spectroscopy for assessment of soil properties in a semi-arid area of Turkey. *Journal of Arid Environments*, 74(2): 229-238.
8. Canasveras, J.C., Barron, V., Del Campillo, M. C., Torrent, J. and Gomez, J.A. 2010. Estimation of aggregate stability indices in Mediterranean soils by diffuse reflectance spectroscopy. *Geoderma*, 158: 78-84.
9. Curran, P. J., Dungan, J. L. and Peterson, D. L. 2001. Estimating the foliar biochemical concentration of leaves with reflectance spectrometry: testing the Kokaly and Clark methodologies. *Remote Sensing of Environment*, 76(3): 349-359.
10. Chang, C. W., Laird, D. A., Mausbach, M. J. and Hurburgh, C. R. 2001. Near-infrared reflectance spectroscopy–principal components regression analyses of soil properties. *Soil Science Society of America Journal*, 65(2): 480-490.
11. Clark, R. N., King, T. V. V., Klejwa, M., Swayze, G. A. and Vergo, N. 1990. High spectral resolution reflectance spectroscopy of minerals. *Journal of Geophysical Research*, 95: 12653–12680.
12. Dalal, R. C. and Henry, R. J. 1986. Simultaneous determination of moisture, organic carbon and total nitrogen by near infrared reflectance spectrophotometry. *Soil Science Society of America Journal*, 50: 120–123.
13. Daniel, K. W., Tripathi, N. K. and Honda, K. 2003. Artificial neural network analysis of laboratory and in situ spectra for the estimation of macronutrients in soils of Lop Buri (Thailand). *Soil and Tillage Research*, 41: 47–59
14. Farifteh, J., Farshad, A. and George, R. J. 2006. Assessing salt-affected soils using remote sensing, solute modelling, and geophysics. *Geoderma*, 130(3), 191-206.
15. Genot, V., Colinet, G., Bock, L., Vanvyve, D., Reusen, Y. and Dardenne, P. 2011. Near infrared reflectance spectroscopy for estimating soil characteristics valuable in the diagnosis of soil fertility. *Journal of Near Infrared Spectroscopy*, 19: 117-138.
16. Gomez, C., Lagacherie, P. and Coulouma, G. 2012. Regional predictions of eight common soil properties and their spatial structures from hyperspectral Vis–NIR data. *Geoderma*, 189: 176-185.

17. Gomez, C., Lagacherie, P., Coulouma, G. 2008. Continuum removal versus PLSR method for clay and calcium carbonate content estimation from laboratory and airborne hyperspectral measurements. *Geoderma*, 148: 141-148.
18. Hillel, D. 2004. Introduction to Environmental Soil Physics. Elsevier, Amsterdam. 494- 512.
19. Janik, L.J., Forrester, S.T. and Rawson, A. 2009. The prediction of soil chemical and physical properties from mid infrared spectroscopy and combined partial least-squares regression and neural networks (PLS-NN) analysis. *Chemometrics and Intelligent Laboratory Systems*, 97:179-188.
20. Karimi, S., Davari, M., Bahrami, H., Babaeian, E. and Hosini, M. 2016. Estimation of some soil baseline characteristics by near-infrared visible spectroscopy in Kurdistan province. *Iran Water and Soil Research*. 48(3): 573-585 (In Persian).
21. Kensuke, K., Tsujimoto, Y., Rabenarivo, M., Asai, H., Andriamananjara, A. and Rakotoson, T. 2017. Vis-NIR Spectroscopy and PLS Regression with Waveband Selection for Estimating the Total C and N of Paddy Soils in Madagascar. *MDPI-Remote Sensing*, 10: 142-155.
22. Khalilimoqadam, B., Afuni, M., Jalaleian, A., Abaspor, K. and Dehqani, M. 2014. Application of Regression and Neural Networks Methods for Estimating Hydraulic Conductivity of Saturated Soil in Central Zagros Region. *Journal of Agricultural Science and Technology, Water and Soil Science*, 71: 217-227 (In Persian).
23. Kuang, B., Tekin, Y. and Mouazen, M. A. 2015. Comparison between artificial neural network and partial least squares for on-line visible and near infrared spectroscopy measurement of soil organic carbon, pH and clay content. *Soil and Tillage Research*, 146: 243-252.
24. Kodaira, M. and Shibusawa, S. 2013. Using a mobile real-time soil visible-near infrared sensor for high resolution soil property mapping. *Geoderma*, 199: 64-79.
25. Krystyna, M. K. and Sławomir, S. 2017. Application of neural networks in diagnostic's of chemical compound's based on theirs infrared spectra. DE GRUTER. 24: 107-118.
26. Liu, X., Xu, J., Zhang, M., Si, B., and Zhao, K. 2008. Spatial variability of soil available Zn and Cu in paddy rice fields of China. *Environmental Geology*, 55: 1569-1576.
27. Metternicht, G. I. and Zinck, J. A. 2003. Remote sensing of soil salinity: potentials and constraints. *Remote sensing of Environment*, 85(1): 1-20.
28. Nanni, M. R. and Demattê, J. A. M. 2006. Spectral reflectance methodology in comparison to traditional soil analysis. *Soil Science Society of America Journal*, 70(2): 393-407.
29. Nemati, F., Raeisi, F. and Hasanpoor, A. 2013 Aggregate stability in different treatments of salinity and soil organic matter in the presence of earthworms under

- greenhouse conditions. *Journal of Water and Soil Studies*, 19(1): 41-60 (In Persian).
30. Nelson, R. E. 1982. Carbonate and gypsum. In: A.L. Page R.H. Miller and R. Keeny. (ed). *Methods of soil analysis. Part 2-chemical and microbiological properties.* (pp181-196). Madison, WI.
 31. Nelson, P. N., Baldock, J. A., Clarke, P., Oades, J. M. and Charchman, G. J. 1999. Dispersed clay and organic matter in soil: their nature and association. *Australian Journal of Soil Research*, 37: 289-315.
 32. Nocita, M., Stevens, A., Noon, C., van Wesemael, B. 2013. Prediction of soil organic carbon for different levels of soil moisture using Vis-NIR spectroscopy. *Geoderma*, 199: 37-42.
 33. Savvides, A., Corstanje, R., Baxter, S. J., Rawlins, B. G. and Lark, R. M. 2010. The relationship between diffuse spectral reflectance of the soil and its cation exchange capacity is scale-dependent. *Geoderma*, 154: 353-358.
 34. Schaap, M. G., Leij, F. J. and Van Genuchten, M. T. 1998. Neural network analysis for hierarchical prediction of soil hydraulic properties. *Soil Science Society of America Journal*, 62: 847-855.
 35. Sorenson, P. T., Quideau S. A. and Rivard, B. 2018. High resolution measurement of soil organic carbon and total nitrogen with laboratory imaging spectroscopy. *Geoderma*, 315(1): 170-177.
 36. Sokouti, R., Mahdiad, M. and Mahmoodi, S. 2008. Comparing of the application of some geostatistic method to predict the variability of soil salinity, a case study of Urmieh Plain. *Pajauhesh and Sazandegi*, 74: 90-98.